

ΠΡΑΚΤΙΚΑ ΤΗΣ ΑΚΑΔΗΜΙΑΣ ΑΘΗΝΩΝ

ΕΚΤΑΚΤΟΣ ΣΥΝΕΔΡΙΑ ΤΗΣ 25ΗΣ ΙΑΝΟΥΑΡΙΟΥ 1996

ΠΡΟΕΔΡΙΑ ΙΩΑΝΝΟΥ ΠΕΣΜΑΖΟΓΛΟΥ

ΙΑΤΡΙΚΗ.— 'Η μεταβολή τῆς μηχανικῆς Συμπεριφορᾶς 'Αρτηριακῶν Τοιχωμάτων ἀπὸ τὴν 'Αθηρωματικὴν Νόσον, ὑπὸ τοῦ 'Ακαδημαϊκοῦ Π. Σ. Θεοχάρη, τῶν X. Μπουντούλα, Π. Ε. Καραγιαννάκου, Δ. Σοκόλη, Γ. 'Ελευθερίου, Φ. Μητρόπουλου, Γ. Η. Παπαλάμπρου, Δ. Περρέα, Ι. Δοντᾶ, καὶ τοῦ 'Ακαδημαϊκοῦ Γρ. Δ. Σκαλκέα*.

Ε Ι Σ Α Γ Ω Γ Η

'Η ἀθηρωματικὴ νόσος ἀποτελεῖ τὴν κύριαν αἰτίαν τῶν καρδιακῶν προσβολῶν, τῶν ἐγκεφαλικῶν ἐπεισδίων καὶ τῆς γάγγραινας τῶν κάτω ἄκρων. Εὑθύνεται γιὰ τὸ 50% τῆς συνολικῆς θνητικότητας στὴν Εὐρώπη, τὴν 'Αμερικὴ καὶ τὴν 'Ιαπωνία, ἐνῶ ἡ νοσηρότητά της προκαλεῖ μεγάλα ιατρικά, κοινωνικά καὶ οἰκονομικά προβλήματα.

'Η ἀθηρωματικὴ ἀλλοίωση ἔχει μελετηθεῖ ἐκτενῶς ἀπὸ ἀπόψεως ιστοχημικῆς, παθολογοανατομικῆς καὶ γενετικῆς. 'Η ἀθηρωματικὴ βλάβη ὅμως ἀποτελεῖ σύνθετη δομικὴ ἀλλοίωση καὶ κάθε στοιχεῖο ποὺ τὴν ἀποτελεῖ ἔχει διαφορετικὴ μηχανικὴ συμπεριφορά. Γιὰ τὸν λόγον αὐτόν, ρήξεις τῆς πλάκας ἢ τοῦ ἀθηρωματικοῦ τμήματος τοῦ ἀγγείου ἔχουν ἀποδοθεῖ εἴτε σὲ αἱμοδυναμικὴ διατυπητικὴ τάση, εἴτε σὲ στροβιλώδη ροή, σὲ παροδικὴ συμπίεση, σὲ ἀπότομη αὔξηση τῆς ἐνδοαυλικῆς πίεσης, σὲ ρήξη τῶν vasa vasorum κ.ἄ.

'Η μηχανικὴ συμπεριφορὰ τοῦ ἀθηρωματικοῦ ἀγγείου ἔχει συγκεντρώσει τὸ ἐνδιαφέρον τῶν ἐρευνητῶν, ἀλλὰ τὰ ἀποτελέσματα τῶν ἐρευνῶν εἶναι πολλὲς φορὲς ἀντικρουόμενα, λόγω τῶν διαφόρων τεχνικῶν ποὺ ἔχουν κατὰ καιρούς χρησιμοποιηθεῖ. Τὸ 1873, ὁ Rindfleisch [1] ἐμελέτησε περιπτώσεις ρήξης τῆς θωρακικῆς ἀορτῆς, ἐνῶ ὁ Roy [2], τὸ 1880, παρουσίασε πρῶτος τὶς σχέσεις τάσης μήκους, καὶ

* P. THEOCARIS, GR. D. SKALKEAS, H. BOUDOULAS, P. E. KARAYANNACOS, D. SOKOLIS, G. ELEFTERIOU, F. MITROPOULOS, G. PAPALAMBROU, D. PERREA, I. DONTA, Mechanical properties of the aorta duct, during the evolution of experimentally induced atherosclerosis.

πίεσης-όγκου για τὴν ἀορτὴ τοῦ ἀνθρώπου καὶ τῶν ζώων. Ὁ Greendyke [3] ὑπολόγισε ὅτι περίπου τὸ 1/6 τῶν θανάτων ἀπὸ ἀγγειακὰ ἐπεισόδια μπορεῖ νὰ ἀποδοθεῖ σὲ μεταβολὴ τῶν μηχανικῶν χαρακτηριστικῶν τοῦ ἀγγέλου. Ἀπὸ τὸ 1873 μέχρι σήμερα ἔχουν δημοσιευθεῖ πολλές μελέτες ποὺ διαπραγματεύονται τὴν μηχανικὴ συμπεριφορὰ τῶν ἀρτηριῶν, πολλές ἀπὸ τὶς ὁποῖες ὅμως ἔχουν ἀναθεωρηθεῖ τὰ τελευταῖα χρόνια [4-11].

Ἡ μηχανικὴ συμπεριφορὰ τοῦ ἀρτηριακοῦ τοιχώματος παρουσιάζει μεγάλο ἐνδιαφέρον λόγω τῆς συμβολῆς τῆς στὴν αἰμοδυναμικὴ διμοιοστασίᾳ καὶ στὴν ἀνάπτυξη καὶ ἔξελιξη τῶν ἀγγειακῶν ἀλλοιώσεων, ἀπὸ τὶς ὁποῖες ἔξαρτῶνται οἱ συνθῆκες ροῆς καὶ μεταφορᾶς μάζας μέσα στὸ ἀγγεῖο. Ἐπιπλέον, οἱ τάσεις καὶ οἱ παραμορφώσεις ποὺ ἀναπτύσσονται στὰ τοιχώματα τῶν ἀγγείων ἀποτελοῦν σημαντικοὺς παράγοντες γιὰ τὴν κατανόηση τῆς φυσιολογίας, ὅλα καὶ τῆς παθοφυσιολογίας, τῆς μηχανικῆς τοῦ καρδιοαγγειακοῦ συστήματος.

Μηχανικὰ Χαρακτηριστικὰ τοῦ ἀρτηριακοῦ Τοιχώματος

Τὸ ἀρτηριακὸ τοίχωμα χαρακτηρίζεται ἀπὸ ἀπόψεως δομικῆς καὶ μηχανικῆς ὡς ἀνομοιογενές, ἀνισότροπον καὶ ἀσυμπίεστον ὑλικόν. Ἐπιπλέον, τὸ τοίχωμα παρουσιάζει μὴ-γραμμικὴ σχέση τάσης-παραμόρφωσης, ἰδιαιτέρως σὲ ὑψηλές παραμορφώσεις. Ἀπὸ ἐκτενεῖς μελέτες ἔχουν διευκρινισθεῖ τὰ βασικὰ μηχανικὰ χαρακτηριστικὰ τοῦ ἀγγειακοῦ τοιχώματος ὅπως ἡ ἀνομοιογένεια, τὸ ἀσυμπίεστο, ἡ δρθοτροπία, καὶ ἡ μὴ-γραμμικότητα τῆς μηχανικῆς συμπεριφορᾶς τῶν τοιχωμάτων. Μία ίκανη προσέγγιση τῆς ἀνισοτροπίας τῶν τοιχωμάτων ἀποτελεῖ ἡ παραδοχὴ ὅτι αὐτὰ συμπεριφέρονται μηχανικῶς ὡς ἐγκαρπώς ἴσοτροπα ὑλικά.

Τὸ ἀρτηριακὸ τοίχωμα εἶναι σύνθετο ὑλικό, τὸ ὁποῖο ἀποτελεῖται κυρίως ἀπὸ πρωτεΐνες, λεῖα μυϊκὰ κύτταρα, καθὼς καὶ ἵνες ἐλαστίνης καὶ κολλαγόνου. Τὰ τελευταῖα δύο συστατικὰ ἀποτελοῦν τὶς κύριες αἵτιες τῶν παθητικῶν μηχανικῶν ἰδιοτήτων τῶν τοιχωμάτων. Πράγματι, ἡ ἐλαστίνη σχηματίζει χαλαρὸ δίκτυο ἵνῶν ποὺ φέρει τὶς τάσεις σὲ μικρὲς παραμορφώσεις, ἐνῶ ἀντιθέτως τὸ κολλαγόνο, καὶ ἰδιαιτέρως τὸ κολλαγόνο τοῦ μέσου χιτῶνος φέρει τὶς τάσεις σὲ μεγάλες παραμορφώσεις. Ἡ δομικὴ ἀκαμψία τοῦ τοιχώματος τοῦ ἀγγέλου καθορίζεται ἀπὸ τὸ βαθμὸ τῆς ἐνεργοποίησης τῶν ἵνῶν τοῦ κολλαγόνου καὶ ἔξαρτᾶται ἀπὸ τὴν δομικὴ ἀρχιτεκτονικὴ τῆς ἐλαστίνης καὶ τοῦ κολλαγόνου.

Τὸ ἀρτηριακὸ τοίχωμα εἶναι ἐπομένως σύνθετο βιολογικὸ ὑλικὸ ποὺ παρουσιάζει ἀνομοιογένεια. Πράγματι, οἱ μηχανικὲς ἰδιότητες τῶν ἀρτηριῶν μεγάλης διαμέτρου δὲν εἶναι ἴδιες μὲ αὐτές τῶν μικροτέρων κλάδων τους. Ἐν τούτοις, γίνεται ἀποδεκτὸ ὅτι ἡ δομοιογένεια συναντᾶται σὲ μικρὰ τμήματα τοῦ ἀορτικοῦ δένδρου

κατὰ τὸν ἐπιμήκη ἀξονά του, ίδιότης ποὺ ἐπιτρέπει τὴν παραδοχὴν τῆς συμπεριφορᾶς του ως ἐγκαρσίως ίσοτροπου μέσου.

‘Η ὑπόθεση τοῦ ἀσυμπιέστου ἐπιτρέπει τὴν παραδοχὴν ὅτι σὲ δύοιαδήποτε μηχανικὴ μεταβολὴ τοῦ ἀρτηριακοῦ ἴστοῦ, ὁ ὄγκος τοῦ τοιχώματος παραμένει σταθερός. Ή ἀποδοχὴ αὐτῆς τῆς ὑπόθεσης διευκολύνει σὲ μεγάλο βαθμὸν τὴν ἀνάλυση τῶν σχέσεων τάσεων-παραμορφώσεων, ἐπειδὴ ἡ παραμόρφωση σὲ ἕνα ἀπὸ τοὺς τρεῖς ἀξονες καθορίζεται πλήρως ἀπὸ τὶς παραμορφώσεις στοὺς ὑπόλοιπους δύο ἀξονες.

‘Η γεωμετρικὴ συμμετρία στὴν ἐσωτερικὴ δομὴ ἔνδος σώματος ἔχει ως ἀποτέλεσμα τὴν ἐμφάνιση συμμετρίας καὶ στὶς μηχανικὲς ίδιότητές του, δύοτε τοῦτο ὀνομάζεται ίσοτροπικό. “Οταν δὲν ὑπάρχει συμμετρία, τότε τὸ σῶμα ὀνομάζεται ἀνισοτροπικό. Στὸ ίσοτροπον σῶμα, τὸ σύστημα τῶν κυρίων ἀξόνων ἀποτελεῖ ἀξονες συμμετρίας, καὶ παρατηροῦνται οἱ αὐτές ίδιότητες εἰς οἰανδήποτε τῶν κυρίων διευθύνσεων.

‘Η ίστολογικὴ ἀνάλυση τῆς δομῆς τοῦ ἀρτηριακοῦ τοιχώματος ἀποδεικνύει ὅτι ἀποτελεῖται ἀπὸ κολλαγόνο, ἐλαστίνη καὶ λεῖα μυϊκὰ κύτταρα, τὰ δύοια εἶναι προσανατολισμένα κυρίως κατὰ τὸν ἐπιμήκη καὶ τοὺς ἐγκαρσίους ἀξονες. Ἀποτέλεσμα τῆς κυτταρικῆς ἀρχιτεκτονικῆς τοῦ ἀρτηριακοῦ τοιχώματος εἶναι οἱ ἐλαστικὲς ίδιότητές του νὰ θεωροῦνται ως ἐγκαρσίως ίσοτροποι, δηλαδὴ συμμετρικὲς ως πρὸς τὸν περιφερειακὸ καὶ ἐπιμήκη ἀξονα.

Τὸ ἀρτηριακὸ τοίχωμα ὑποβαλλόμενον εἰς τυχούσας καταπονήσεις παρουσιάζει μεγάλες, μὴ-γραμμικὲς παραμορφώσεις, ἐπομένως δὲν ὑπακούει εἰς τὸν γραμμικὸν νόμον παραμόρφωσης τῶν ἐλαστικῶν σωμάτων (νόμος τοῦ Hooke). Κατὰ συνέπεια, ἡ μηχανικὴ περιγραφὴ τῆς παραμορφώσεως τοῦ ἀρτηριακοῦ ἴστοῦ δὲν μπορεῖ νὰ πραγματοποιηθεῖ μὲ τὴν κλασσικὴ θεωρία ἐλαστικότητος τῶν μικρῶν παραμορφώσεων.

Τέλος, ἡ διάμετρος τῆς ἀορτῆς, ὅσο ἀπομακρυνόμαστε ἀπὸ τὴν ἀορτικὴν βαλβίδα πρὸς τὸν διχασμὸν τῶν λαγονίων ἀγγείων, παρουσιάζει σταδιακὴ μείωση. ‘Η μείωση αὐτὴ ὀνομάζεται γεωμετρικὴ λέπτυνση. “Οταν δύμας γίνεται ἀναφορὰ στὸ ἀορτικὸ δένδρο, τότε δὲν λαμβάνεται ὑπόψη ἡ μεταβολὴ αὐτῆς καὶ θεωρεῖται ὅτι τὸ ἀγγεῖο ἔχει κυκλικὴ διατομὴ μὲ σταθερὴ διάμετρο καὶ πάχος σὲ ὅλο τὸ μῆκος του. Πρέπει νὰ σημειωθεῖ δύμας ὅτι ὅσο ἐλαττώνεται ἡ διάμετρος τοῦ ἀγγείου, τόσο μειώνεται τὸ πάχος τοῦ τοιχώματος μὲ ἀποτέλεσμα ὁ λόγος τῶν δύο αὐτῶν μεγεθῶν νὰ παραμένει σταθερός.

‘Υλικὰ δοκιμῶν-Μέθοδοι

Γιὰ τὴν μελέτη αὐτὴν χρησιμοποιήθηκαν 24 λευκὰ ἀρσενικὰ κουνέλια Νέας Ζηλανδίας μέσου σωματικοῦ βάρους 2550 ± 110 gr. Τὰ πειραματόζωα χωρίστηκαν σὲ 3 ὁμάδες. Στὴν ὁμάδα A (n=4), ποὺ ἀποτέλεσε τὴν ὁμάδα ἐλέγχου, ἡ διατροφή τους

έγινε μὲ κανονική τροφή έμπορίου. Στὶς δμάδες Β (n=10) καὶ Γ (n=10), ἡ τροφή τῶν πειραματοζώων εἶχε έμπλουτιστεῖ μὲ 2% χοληστερόλη καὶ 6% καλαιμποκέλαιο. Πρὸς ἀπὸ τὴν ἔναρξη τῆς μελέτης ἔγινε αἴμοληψία σὲ ὅλα τὰ πειραματόζωα γιὰ τὸν προσδιορισμὸ τῶν ἐπιπέδων τῶν λιποειδῶν τοῦ αἵματος. Ἀνάλογη αἴμοληψία ἔγινε στὸ τέλος τῆς μελέτης κάθε δμάδας. Ἡ πειραματικὴ μελέτη τῶν πειραματοζώων τῶν δμάδων Α καὶ Γ ἔγινε μετὰ ἀπὸ δύο μῆνες καὶ τῆς δμάδας Β μετὰ ἀπὸ ἕνα μῆνα. Μετὰ τὴν διάνοιξη, μὲ ἐπιμήκη τομή, τῆς θωρακικῆς καὶ κοιλιακῆς κοιλότητας, παρασκευάστηκε τὸ ἀορτικὸ δένδρο ἀπὸ τὴν ἀορτικὴ βαλβίδα μέχρι τὸν διανούσμὸ τῶν λαγονίων ἀγγείων, ἀφαιρέθηκε ὅλος ὁ συνδετικὸς ἴστος καὶ τὸ ἀγγεῖο διανούχητης κατὰ τὸν ἐπιμήκη ἀξονά του. Ἡ θωρακικὴ καὶ κοιλιακὴ ἀορτὴ χωρίστηκαν σὲ δύο ἡμιμόρια, ἕνα κεντρικὸ καὶ ἕνα περιφερειακό. Τὰ παρασκευάσματα τοποθετήθηκαν σὲ φυσιολογικὸ ὄρὸ καὶ διατηρήθηκαν σὲ θερμοκρασία 4°C μέχρι τὴν μέτρηση τῶν μηχανικῶν ἰδιοτήτων τους ποὺ ἔγινε μέχρι καὶ 36 ὥρες μετὰ τὴν εύθανασία.

Ἡ μηχανικὴ ἀνάλυση τῆς τάσης-παραμόρφωσης τῶν δειγμάτων πραγματοποιήθηκε μὲ τὴν συσκευὴ ἐφελκυσμοῦ Vitrodyne 1000 Universal Tester Machine (Liveco Inc., Vermont, U.S.A.), ἐνῷ τὸ πάχος τοῦ ἀγγειακοῦ τοιχώματος προσδιορίστηκε μὲ εἰδικὴ μικρομετρικὴ συσκευὴ ἀκτίνων laser εύαισθησίας 1 μμ (laser scan micrometer, Model LS-3100, Keyence Corp., Osaka, Japan). Κατὰ τὴν διάρκεια τῶν μετρήσεων τὸ ἀορτικὸ δεῖγμα ἦταν μέσα σὲ ὑδατόλουτρο θερμοκρασίας 37° C. "Ολες οἱ μετρήσεις πραγματοποιήθηκαν σὲ συνθήκες δωματίου, μὲ θερμοκρασία περιβάλλοντος χώρου $20 \pm 1^{\circ}$ C.

Στὶς ἀρπάγες τῆς συσκευῆς ἐφελκυσμοῦ εἶχαν τοποθετηθεῖ μικρὰ τεμάχια ἀπὸ ἀντιολισθητικὸ χαρτί, ὡστε νὰ συγκρατοῦνται τὰ δείγματα κατὰ τὴν διάρκεια τοῦ ἐφελκυσμοῦ. Εἰς τὴν συσκευὴν χρησιμοποιήθηκε ἡ κλῖμαξ μέγιστου 10 kg γιὰ τὴν μέτρηση τῆς ἐντατικῆς κατάστασης τῆς ἀορτῆς. Ἡ συσκευὴ ἔφερε ἐπίσης ἐνσωματωμένο μετρητὴ παραμορφώσεων. Τὰ ἀποτελέσματα τῶν μετρήσεων καταγράφονταν στὴν μνήμη ἡλεκτρονικοῦ ὑπολογιστῆ γιὰ περαιτέρω ἐπεξεργασία.

Τὸ πρωτόκολλο τῆς μελέτης τῶν ἀορτικῶν δειγμάτων περιελάμβανε τὴν προετοιμασία τους, τὶς μετρήσεις δύναμης-ἐπιμήκυνσης καὶ τὴν μέτρηση τοῦ πάχους. Ἡ προετοιμασία τοῦ διλικοῦ γινόταν μὲ 10 μονοαξονικοὺς ἐντατικοὺς κύκλους, μὲ σταθερὰ τελικὰ ἐπίπεδα παραμορφώσεων, ποὺ ἀποσκοποῦσαν στὴν μελέτη τῶν βισκοελαστικῶν ἰδιοτήτων τοῦ δείγματος. Ἡ διαδικασία αὐτὴ ἦταν ἀπαραίτητη γιὰ τὴν σταθεροποίηση τοῦ δείγματος καὶ τὴν ἐξάλειψη πιθανῶν φαινομένων ὑστέρησης. Ἀκολούθησαν μετρήσεις δύναμης-ἐπιμήκυνσης μὲ τὶς ὁποῖες μελετήθηκαν οἱ ἐλαστικές ἰδιότητες τοῦ ἀορτικοῦ τοιχώματος.

Κατὰ τὴν διάρκεια τοῦ μονοαξονικοῦ ἐφελκυσμοῦ [12, 13] μετρήθηκαν: ἡ ἐπι-

μήκης δύναμη F , τὸ ἀρχικὸ μῆκος l_0 , τὸ πλάτος w_0 καὶ τὸ πάχος t_0 τοῦ δείγματος. Ἐπίσης, τὸ τελικὸ μῆκος l , τὸ πλάτος w καὶ τὸ πάχος t . Μὲ βάση τὰ στοιχεῖα αὐτὰ ἔγινε ὁ ὑπολογισμὸς τῆς τάσης, τῆς παραμόρφωσης καὶ τοῦ μέτρου ἐλαστικότητος στὸν ἐπιμήκη ἀξονα. Ἡ παραμόρφωση Green [14], γ, ὑπολογίστηκε μέσω τοῦ τύπου

$$\gamma = 1/2(\lambda^2 - 1) \quad (1)$$

ὅπου $\lambda = l/l_0$ εἶναι ἡ ἐπιμήκυνση τοῦ δείγματος.

Ἡ τάση ὑπολογίστηκε ἀπὸ τὸν τύπο $\sigma = F/wt$, ὅπου F εἶναι ἡ ἀσκούμενη δύναμη. Τὰ ἀρτηριακὰ δείγματα ἐθεωρήθηκαν μὲ μεγάλη προσέγγιση ὡς ἀσυμπίεστα ὄλικὰ καὶ ἐπομένως ἡ τάση ὑπολογίστηκε ἀπὸ τὸν ἔξης τύπο:

$$\sigma = \frac{Fl}{w_0 t_0 l_0} = \frac{F}{w_0 t_0} \lambda \quad (2)$$

Τέλος, ἀπὸ τὸ ἐμβαδὸν τῆς ἐπιφάνειας ποὺ περικλείεται ἀπὸ τὴν καμπύλη τάσης-παραμόρφωσης καὶ τὸν ἀξονα τῆς παραμόρφωσης ὑπολογίστηκε ἡ ἐλαστικὴ ἐνέργεια.

Ἡ στατιστικὴ ἐπεξεργασία τῶν δεδομένων ἔγιναν μὲ τὴν ἐφαρμογὴ τῆς δοκιμασίας τῆς ἀνάλυσης τῆς μεταβλητότητας ANOVA (analysis of variance). Σὲ ὅλους τοὺς ὑπολογισμοὺς μία τιμὴ $p < 0.05$ θεωρήθηκε ὡς στατιστικῶς σημαντική. Τὰ τελικὰ ἀποτελέσματα παρουσιάζονται ὡς μέση τιμὴ μὲ τὴν προσθήκη τοῦ σταθεροῦ σφάλματος.

Ἀποτελέσματα

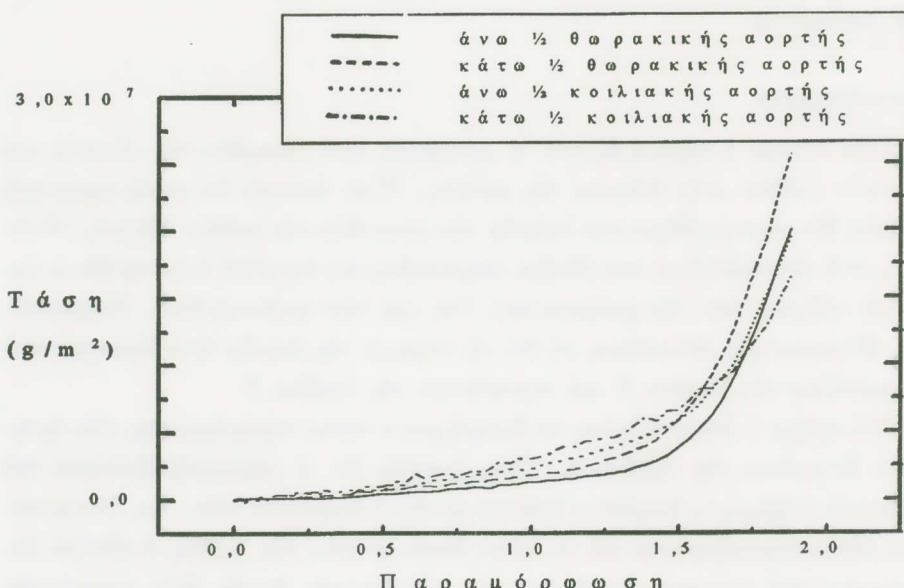
Στὸν πίνακα 1 παρουσιάζονται οἱ μεταβολές τῶν λιποειδῶν τοῦ αἷματος καὶ τῶν τριῶν ὁμάδων στὴν διάρκεια τῆς μελέτης. Εἶναι ἐμφανὲς ὅτι καμία σημαντικὴ μεταβολὴ δὲν παρατηρήθηκε στὰ ἐπίπεδα τῶν λιποειδῶν τῆς ὁμάδας ἐλέγχου. Ἀντιθέτως, στὰ πειραματόζωα ποὺ ἔλαβαν ὑπερλιπιδαιμικὴ διατροφὴ παρατηρήθηκε σημαντικὴ αὔξηση τόσο τῆς χοληστερίνης, ὅσο καὶ τῶν τριγλυκεριδίων. Μακροσκοπικὲς ὀθηρωματικὲς ὀλλοιώσεις, σὲ ὅλο τὸ τοίχωμα τῆς ἀορτῆς ἦταν ἐμφανεῖς στὰ πειραματόζωα τῆς ὁμάδας B καὶ περισσότερο τῆς ὁμάδας Γ.

Στὸ σχῆμα 1 ἀπεικονίζονται τὰ διαγράμματα τάσης-παραμόρφωσης τῶν ἀρτηριακῶν δειγμάτων τῆς ὁμάδας A. Εἶναι ἐμφανὲς ὅτι οἱ μηχανικὲς ιδιότητες τοῦ ἀρτηριακοῦ τοιχώματος διαφέρουν ἀνάλογα μὲ τὴν τοπογραφικὴ θέση τους. Οἱ καμπύλες τάσης-παραμόρφωσης καὶ τὸ μέτρο ἐλαστικότητος τῆς ὁμάδας A ἔδειξαν ὅτι τὰ περιφεριακὰ τμήματα τῆς θωρακικῆς καὶ κοιλιακῆς ἀορτῆς ἦταν σημαντικῶς πιὸ ἀκαμπτα ἀπὸ τὰ κεντρικὰ ἡμιμόρια ($p < 0.05$).

Είναι γνωστό είς τὴν ἔμβιον ὥλην ὅτι τὸ μέτρο ἐλαστικότητος ἐξαρτᾶται ἐκ τοῦ ὕψους τῆς παραμόρφωσης καὶ τῆς τάσης καθὼς ἡ σχέση τάσης-παραμόρφωσης εἶναι μὴ-γραμμική. Γιὰ τὸν λόγον αὐτὸν ὁ ὑπολογισμὸς τῶν μέτρων ἐλαστικότητος θεωρήθηκε ἀπαραίτητο νὰ γίνει σὲ τέσσερα διαφορετικὰ ἐπίπεδα παραμόρφωσης, ποὺ προσδιόριζαν τὴν σχέση μεταξὺ μέτρου ἐλαστικότητος καὶ παραμόρφωσης. "Οπως

ΠΙΝΑΚΑΣ 1: Μεταβολές τῶν λιποειδῶν τοῦ αἷματος (mgdl) (μέση τιμὴ ± σταθερὸ σφάλμα)

	ΧΟΛΗΣΤΕΡΙΝΗ			ΤΡΙΓΛΥΚΕΡΙΔΙΑ		
	ΕΝΑΡΞΗ	1ος ΜΗΝΑΣ	2ος ΜΗΝΑΣ	ΕΝΑΡΞΗ	1ος ΜΗΝΑΣ	2ος ΜΗΝΑΣ
ΟΜΑΔΑ Α	35±4	----	39±6	59±6	----	63±4
ΟΜΑΔΑ Β	64±10	2481±241	----	51±5	224±27	----
ΟΜΑΔΑ Γ	49±5	----	2945±46	58±4	----	261±31



Σχῆμα 1: Καμπύλες τάσης-παραμόρφωσης τῶν ἀορτικῶν δειγμάτων τῆς ὁμάδας Α.

φαίνεται άπό τὸν πίνακα 2, σὲ χαμηλὰ ἐπίπεδα παραμόρφωσης, τὰ μέτρα ἐλαστικότητος τῶν τεσσάρων ἡμιμορίων τῆς θωρακικῆς καὶ τῆς κοιλιακῆς ἀορτῆς διαφέρουν μεταξύ τους ($p<0.05$), ἐνῶ ἀντιθέτως σὲ ὑψηλότερα ἐπίπεδα παραμόρφωσης δὲν ἔντοπίζονται στατιστικῶς σημαντικές διαφοροποιήσεις.

ΠΙΝΑΚΑΣ 2: Μέτρο ἐλαστικότητας ($\times 10^5 \text{g}/\text{m}^2$) (μέση τιμὴ ± σταθερὸ σφάλμα) τῶν ἀορτικῶν ἡμιμορίων τῆς ὁμάδας A.

ΟΜΑΔΑ A

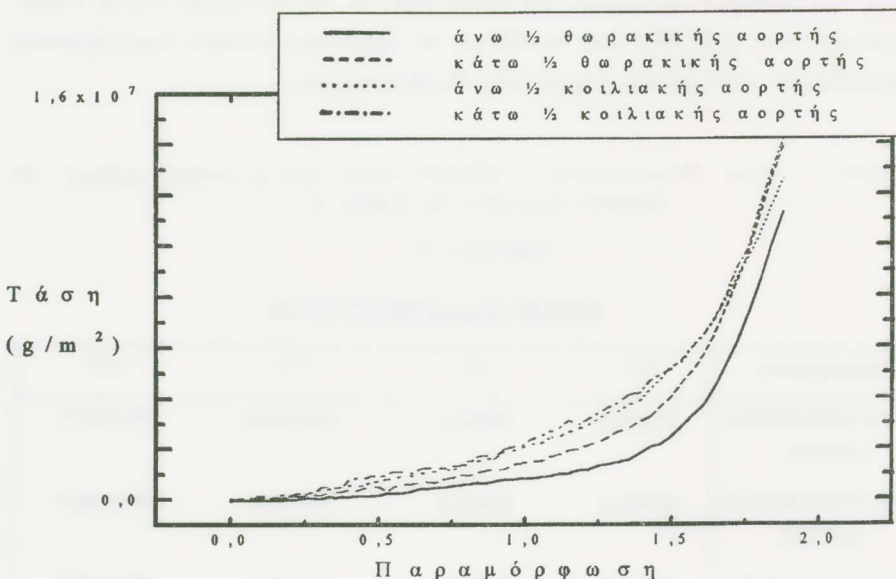
ΜΕΤΡΟ ΕΛΑΣΤΙΚΟΤΗΤΟΣ

Παραμόρφωση	0.5	1.0	1.5	1.75
ΑΝΩ ½ ΘΩΡΑΚΙΚΗΣ ΑΟΡΤΗΣ	17.5±1.2	14.6±1.5	170.5±34.8	566.7±115.3
ΚΑΤΩ ½ ΘΩΡΑΚΙΚΗΣ ΑΟΡΤΗΣ	23.9±1.5	23.0±0.3	211.9±6.2	590.3±48.5
ΑΝΩ ½ ΚΟΙΛΙΑΚΗΣ ΑΟΡΤΗΣ	33.9±2.8	36.7±2.4	61.2±8.3	430.9±157.5
ΚΑΤΩ ½ ΚΟΙΛΙΑΚΗΣ ΑΟΡΤΗΣ	44.3±4.3	52.3±6.3	119.7±23.4	294.6±102.3

Στὸ διάγραμμα τάσης-παραμόρφωσης γιὰ τὰ ἀρτηριακὰ δείγματα ἀπὸ τὰ δείγματα τῆς ὁμάδας B, (σχῆμα 2), ὅλες οἱ καμπύλες διαφέρουν μεταξύ τους. Εἶναι ἐμφανὲς ὅτι οἱ μηχανικὲς ἴδιότητες τῶν ἀρτηριακῶν τοιχωμάτων διαφοροποιοῦνται ἀναλόγως μὲ τὴν τοπογραφική τους θέση, γεγονὸς ποὺ εἶχε παρατηρηθεῖ καὶ στὴν ὁμάδα A.

Στὸν πίνακα 3 ἀναφέρονται τὰ μέτρα ἐλαστικότητος τῶν ἀορτικῶν δειγμάτων σὲ τέσσερα διαφορετικὰ ἐπίπεδα παραμορφώσεων. Διὰ μικρὰς παραμορφώσεις τῆς τάξης τοῦ 0.5 καὶ 1.0 οἱ τιμὲς τοῦ μέτρου ἐλαστικότητος τῶν ἡμιμορίων τῆς θωρακικῆς καὶ τῆς κοιλιακῆς ἀορτῆς διαφέρουν σημαντικῶς μεταξύ τους. Οἱ διαφορὲς ὅμως τοῦ μέτρου ἐλαστικότητος σὲ μεγαλύτερες παραμορφώσεις τῆς θωρακικῆς καὶ κοιλιακῆς ἀορτῆς δὲν εἶναι σημαντικές ($p>0.05$).

Στὸ σχῆμα 3 ἀπεικονίζεται ἡ σχέση τάσης-παραμόρφωσης τῶν ἀορτικῶν δειγμάτων τῆς ὁμάδας Γ. Εἶναι ἐμφανὲς εἰς τὴν ὁμάδα αὐτὴν ὅτι ἡ ἐλαστικὴ συμπεριφορὰ τοῦ ἀρτηριακοῦ τοιχώματος καθορίζεται ἀπὸ τὴν τοπογραφική του θέση. Τὸ μέτρο ἐλαστικότητος τοῦ ἀνω ἡμιμορίου τῆς θωρακικῆς ἀορτῆς διὰ ἐπίπεδα παραμορφώσεως τῆς τάξεως 0.5, διαφέρει σημαντικὰ ἀπὸ τὸ ἀντίστοιχο τῆς κοι-



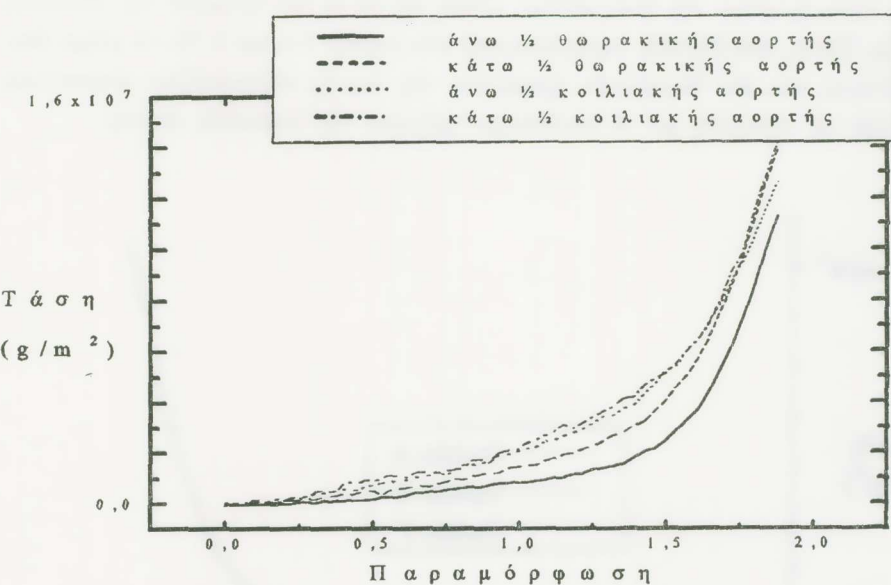
Σχήμα 2: Καμπύλες τάσης-παραμόρφωσης τῶν ἀορτικῶν δειγμάτων τῆς ὁμάδας B.

ΟΜΑΔΑ B

ΜΕΤΡΟ ΕΛΑΣΤΙΚΟΤΗΤΟΣ

Παραμόρφωση	0.5	1.0	1.5	1.75
ΑΝΩ ½ ΘΩΡΑΚΙΚΗΣ ΑΟΡΤΗΣ	12.7±2.0	13.6±1.1	105.3±27.1	327.9±72.4
ΚΑΤΩ 1/2 ΘΩΡΑΚΙΚΗΣ ΑΟΡΤΗΣ	16.3±0.75	25.1±4.1	138.7±12.5	362.3±34.2
ΑΝΩ ½ ΚΟΙΛΙΑΚΗΣ ΑΟΡΤΗΣ	24.7±2.93	36.1±2.2	121.1±24.9	284.4±78.4
ΚΑΤΩ 1/2 ΚΟΙΛΙΑΚΗΣ ΑΟΡΤΗΣ	26.1±1.9	43.1±3.4	121.9±15.1	298.9±77.68

ΠΙΝΑΚΑΣ 3 : Μέτρο Ελαστικότητος ($\times 10^5 \text{ g/m}^2$) (μέση τιμὴ ± σταθερὸ σφάλμα) τῶν ἀορτικῶν ἡμιμορίων τῆς ὁμάδας B.



Σχήμα 3: Καμπύλες τάσης-παραμόρφωσης των άορτικων δειγμάτων της ίδιας Γ.

ΠΙΝΑΚΑΣ 4: Μέτρο Ελαστικότητος ($\times 10^5 \text{ g/m}^2$) (μέση τιμή \pm σταθερό σφάλμα) των άορτικων ήμιμορίων της ίδιας Γ.

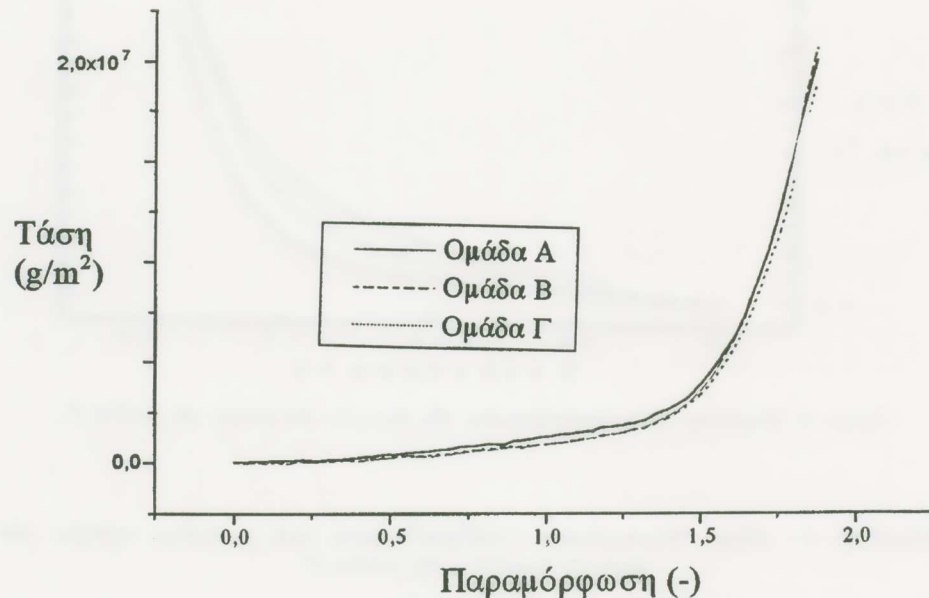
ΟΜΑΔΑ Γ

ΜΕΤΡΟ ΕΛΑΣΤΙΚΟΤΗΤΟΣ

Παραμόρφωση	0.5	1.0	1.5	1.75
ΑΝΩ 1/2 ΘΩΡΑΚΙΚΗΣ ΑΟΡΤΗΣ	13.3±0.7	12.0±0.7	166.5±24.6	538.9±78.2
ΚΑΤΩ 1/2 ΘΩΡΑΚΙΚΗΣ ΑΟΡΤΗΣ	17.3±1.9	21.9±2.8	140.0±26.6	385.2±63.7
ΑΝΩ ½ ΚΟΙΛΙΑΚΗΣ ΑΟΡΤΗΣ	21.6±1.4	29.2±1.8	65.5±11.3	167.2±35.2
ΚΑΤΩ 1/2 ΚΟΙΛΙΑΚΗΣ ΑΟΡΤΗΣ	18.9±1.9	31.9±3.54	63.0±10.9	125.9±30.1

λιαστής άορτης (πίνακας 4). Διαίτηψη λόγτερα έπιπεδα παραμόρφωσης της τάξεως 1.0, παρουσιάζεται στατιστική διαφορά μεταξύ του ίδιων ήμιμορίου της θωρακικής

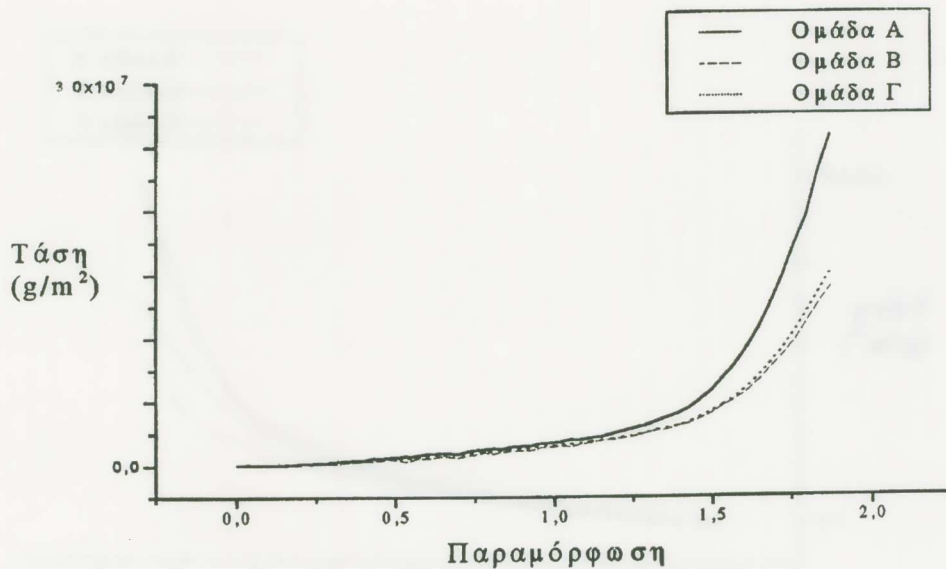
μὲ τὸ κάτω ἡμιμόριο τῆς ἔδιας μοίρας, καθὼς καὶ μὲ τὰ δύο ἡμιμόρια τῆς κοιλιακῆς ἀορτῆς. Τέλος, στὰ ἐπίπεδα παραμόρφωσης τῶν τάξεων 1.5 καὶ 1.75, τὰ μέτρα ἐλαστικότητος τῶν δύο θωρακικῶν ἡμιμορίων τῆς ἀορτῆς παρουσιάζουν στατιστικές διαφορές σὲ σύγκριση μὲ τὰ ἀντίστοιχα τμήματα τῆς κοιλιακῆς ἀορτῆς.



Σχῆμα 4: Καμπύλες τάσης-παραμόρφωσης τοῦ ἄνω ἡμίσεος τῆς θωρακικῆς ἀορτῆς ἀπὸ τὶς τρεῖς ὁμάδες.

Στὸ σχῆμα 4, ἀπεικονίζονται οἱ καμπύλες τῆς τάσης-παραμόρφωσης τοῦ ἄνω ἡμιμορίου τῆς θωρακικῆς ἀορτῆς καὶ τῶν τριῶν ὁμάδων τῶν πειραματοζώων. Εἶναι ἐμφανὲς ὅτι δὲν ὑπάρχουν μηχανικὲς διαφοροποιήσεις τοῦ τοιχώματος τῶν τριῶν ὁμάδων, καθὼς ὅλες οἱ καμπύλες τάσης-παραμόρφωσης σχεδὸν συμπίπτουν. "Οσον ἀφορᾶ τὸ μέτρο ἐλαστικότητος, στατιστικὴ ἀξιολόγηση ἔδειξε ὅτι δὲν ὑπάρχουν διαφοροποιήσεις μεταξὺ τῶν τριῶν ὁμάδων στὸ ἡμιμόριο αὐτὸ τῆς θωρακικῆς ἀορτῆς.

Οἱ καμπύλες τάσης-παραμόρφωσης τοῦ κάτω ἡμιμορίου τῆς θωρακικῆς ἀορτῆς, γιὰ τὶς τρεῖς ὁμάδες τῶν πειραματοζώων, ἐμφανίζονται στὸ σχῆμα 5. Ἀπὸ τὸν πρῶτο μήνα τῆς σίτισης τῶν ζώων μὲ ὑπερλιπιδαιμικὴ τροφὴ (ὁμάδα Β) παρουσιάζεται διαφοροποιήση τῆς μηχανικῆς συμπεριφορᾶς τῶν ἀγγείων σὲ σύγκριση μὲ τὰ φυσιολογικὰ ζῶα ποὺ γίνεται πλέον ἔκδηλη τὸν δεύτερο μήνα (ὁμάδα Γ). Οἱ μεταβολὲς αὐτὲς παρουσιάζονται ἔντονες σὲ ὑψηλὰ ἐπίπεδα παραμορφώσεων, ὅπου τὰ ἀντίστοιχα

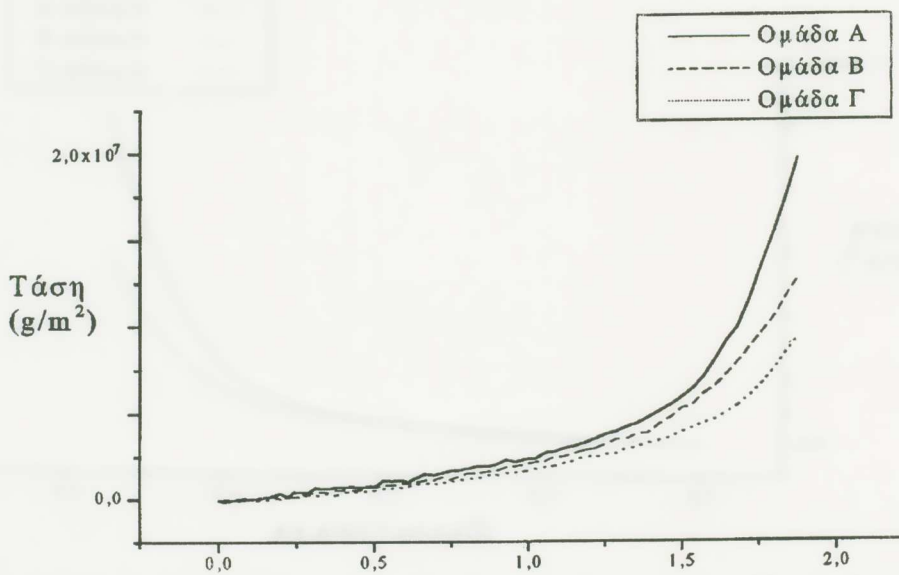


Σχήμα 5: Καμπύλες τάσης-παραμόρφωσης του κάτω ήμισεος της θωρακικής άορτης από τις τρεῖς όμάδες.

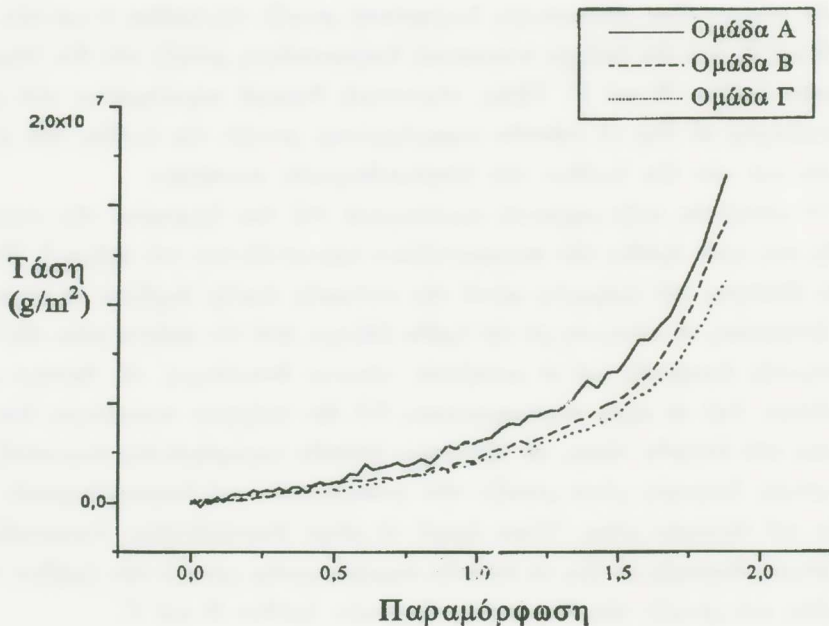
έπιπεδα τάσεων είναι στατιστικώς διαφορετικά μεταξύ της όμαδας Α και των όμάδων Β και Γ, ένω δὲν ίπαρχει στατιστική διαφοροποίηση μεταξύ των δύο υπερλιπιδαιμικών όμάδων Β και Γ. Τέλος, στατιστική διαφορά παρατηρεῖται στά μέτρα έλαστικότητος σε όλα τὰ έπιπεδα παραμόρφωσης μεταξύ της όμαδας τῶν φυσιολογικῶν και τῶν δύο όμάδων τῶν υπερλιπιδαιμικῶν κουνελιῶν.

Οι μεταβολές στὴν μηχανικὴ συμπεριφορὰ τοῦ ἄνω ήμιμορίου τῆς κοιλιακῆς άορτῆς στὶς τρεῖς όμάδες τῶν πειραματοζώων παρουσιάζονται στὸ σχῆμα 6. Οἱ έλαστικὲς ίδιότητες τοῦ τμήματος αὐτοῦ τῆς κοιλιακῆς άορτῆς ἀρχίζουν νὰ παρουσιάζουν ἀποκλίσεις, σὲ σύγκριση μὲ τὴν όμάδα ἐλέγχου, ἀπὸ τὸν πρῶτον μήνα τῆς υπερλιπιδαιμικῆς διατροφῆς και οἱ μεταβολές γίνονται ἐντονότερες τὸν δεύτερο μήνα. Εἰδικότερα, ένω σὲ τιμὲς παραμορφώσεως 0.5 δὲν ίπαρχουν στατιστικὲς διαφοροποίήσεις στὰ έπιπεδα τάσης, σὲ ψυχλότερα έπιπεδα παραμόρφωσης παρουσιάζονται στατιστικὲς διαφορὲς μόνον μεταξύ τῶν φυσιολογικῶν και υπερλιπιδαιμικῶν κουνελιῶν τοῦ δεύτερου μήνα. "Οσον ἀφορᾶ τὸ μέτρο έλαστικότητος, παρουσιάζονται στατιστικὲς διαφορὲς σε όλα τὰ έπιπεδα παραμόρφωσης μεταξύ τῶν όμάδων Α και Γ καθὼς και μεταξύ τῶν δύο υπερλιπιδαιμικῶν όμάδων Β και Γ.

Στὸ σχῆμα 7 παρουσιάζονται τὰ διαγράμματα τάσης-παραμόρφωσης τοῦ κάτω ήμιμορίου τῆς κοιλιακῆς άορτῆς τῶν τριῶν όμάδων τῶν πειραματοζώων. Παρατη-



Σχήμα 6: Καμπύλες τάσης-παραμόρφωσης του άνω ήμισεος της κοιλιακής όροτής από τις τρεις ομάδες.



Σχήμα 7: Καμπύλες τάσης-παραμόρφωσης του κάτω ήμισεος της κοιλιακής όροτής από τις τρεις ομάδες

ρεῖται ότι οἱ μηχανικὲς ἰδιότητες μεταβάλλονται ἀπὸ τὸν πρῶτο μήνα τῆς ὑπερλιπιδαιμικῆς διατροφῆς, ἐνῶ οἱ διαφορές γίνονται ἐντονότερες τὸν δεύτερο μήνα. Σὲ χαμηλὰ ἐπίπεδα παραμόρφωσης δὲν παρουσιάζονται στατιστικὲς διαφορές μεταξὺ τῶν τριῶν ὄμάδων. Μὲ τὴν αὔξησην ὅμως τῆς στάθμης παραμόρφωσης, ἡ ὄμάδα Γ διαφοροποιεῖται ἀπὸ τὶς ὄμάδες Α καὶ Β. "Οσον ἀφορᾶ τὸ μέτρο ἐλαστικότητος, στατιστικὲς διαφοροποιήσεις παρουσιάζονται σὲ ὅλα τὰ ἐπίπεδα παραμορφώσεων μεταξὺ καὶ τῶν τριῶν ὄμάδων.

Στὸν πίνακα 5 παρουσιάζονται οἱ τιμὲς γιὰ τὴν ἐνέργεια ἐλαστικότητος τῶν διαφόρων ἡμιμορίων τῆς θωρακικῆς καὶ κοιλιακῆς ἀορτῆς τῶν τριῶν ὄμάδων. Ἀπὸ

ΠΙΝΑΚΑΣ 5 : 'Ἐνέργεια Ἐλαστικότητος (KJ/m^3) (μέση τιμὴ ± σταθερὸ σφάλμα) τῶν ἀορτικῶν ἡμιμορίων τῶν τριῶν ὄμάδων

ΕΝΕΡΓΕΙΑ ΕΛΑΣΤΙΚΟΤΗΤΟΣ

	ΑΝΩ ΗΜΙΜΟΡΙΟ ΘΩΡ. ΑΟΡΤΗΣ	ΚΑΤΩ ΗΜΙΜΟΡΙΟ ΘΩΡ. ΑΟΡΤΗΣ	ΑΝΩ ΗΜΙΜΟΡΙΟ ΚΟΙΛ. ΑΟΡΤΗΣ	ΚΑΤΩ ΗΜΙΜΟΡΙΟ ΚΟΙΛ. ΑΟΡΤΗΣ
ΟΜΑΔΑ Α	57±9	63±9	71±7	76±7
ΟΜΑΔΑ Β	52±8	48±7	58±8	59±7
ΟΜΑΔΑ Γ	47±6	51±8	41±5	47±7

τὸν πίνακα αὐτὸν παρατηρεῖται ότι στὴν ὄμάδα φυσιολογικῶν πειραματοζώων, ἡ ἐνέργεια ἐλαστικότητος αὔξανεται ἀπὸ τὸ ἄνω ἡμιμόριο τῆς θωρακικῆς ἀορτῆς πρὸς τὸ τελικὸ ἡμιμόριο τῆς κοιλιακῆς ἀορτῆς. Ἐπίσης, εἶναι ἐμφανὲς ότι μὲ τὴν χορήγηση ὑπερλιπιδαιμικῆς διατροφῆς παρατηρεῖται μείωση στὴν ἐνέργεια ἐλαστικότητος, ποὺ εἶναι περισσότερο ἐμφανῆς στὴν κοιλιακὴ ἀορτή, λιγότερο ἐμφανῆς στὸ κάτω ἡμιμόριο τῆς θωρακικῆς ἀορτῆς καὶ δὲν ὑποσημειώνεται στὸ ἄνω ἡμιμόριο τῆς θωρακικῆς ἀορτῆς. Οἱ διαφορές αὐτὲς στὶς τιμὲς ἐνέργειας ἐλαστικότητος δὲν παρουσιάζουν στατιστικὲς διαφορές.

Διερεύνηση τῶν ἀποτελεσμάτων

'Η ἐναπόθεση χοληστερίνης καὶ λιποειδῶν στὸν ἔσω χιτώνα τοῦ ἀρτηριακοῦ τοιχώματος ἐπιφέρει ἴστοχημικές παθολογοανατομικές καὶ μορφολογικές μεταβολές, οἱ ὁποῖες κυρίως εὑθύνονται γιὰ τὶς ἀθηρωματικές ἀλλοιώσεις, μὲ κύριον ἐκπρόσωπο τὴν ἀθηρωματικὴν πλάκα. 'Η σταδιακὴ αὔξηση τοῦ μεγέθους τῆς πλάκας ὀδηγεῖ σὲ στένωση τοῦ αὐλοῦ τοῦ ἀγγείου προκαλώντας λόγω τῆς ἐλάττωσης τῆς αίματικῆς

ροής ισχαιμία ή καὶ νέκρωση τῶν ἴστῶν. Ἐπιπλέον, ρήξη τῆς ἀθηρωματικῆς πλάκας εὐθύνεται, κατὰ τὸ μεγαλύτερο ποσοστό, γιὰ τὴν αἰφνίδια ἀπόφραξη τῶν στεφανιαίων ἀρτηριῶν καὶ τὴν αὔξημένη θυητότητα ἀπὸ δέκα ἔμφραγμα τοῦ μυοκαρδίου, ἐνῶ ρήξεις τῶν ἀνευρυσμάτων ἀποτελοῦν ἐπιπλοκὴ μὲ ἔξαιρετικὰ ὑψηλὴ θυητότητα. Κατὰ συνέπεια, ἡ μελέτη τῶν μηχανικῶν χαρακτηριστικῶν στὶς διάφορες τοπογραφικὲς περιοχὲς τῆς θωρακικῆς καὶ κοιλιακῆς ἀορτῆς καθὼς καὶ ἡ παρακολούθηση τῶν μεταβολῶν τῶν χαρακτηριστικῶν αὐτῶν ποὺ ἐπέρχονται στὴν ἔξελικτικὴ πορεία τῆς ἀθηρωματικῆς νόσου παρουσιάζει ἴδιαίτερο ἐνδιαφέρον.

Στὴν ἐργασία αὐτὴ μελετήθηκαν τὰ μηχανικὰ χαρακτηριστικὰ τῶν διαφόρων ἡμιμορίων τῆς θωρακικῆς καὶ κοιλιακῆς ἀορτῆς σὲ φυσιολογικὰ πειραματόζωα, ἀλλὰ καὶ σὲ ζωικὰ πρότυπα στὰ ὅποια ἡ ἀθηρωματικὴ νόσος ἥταν σὲ ἔξελικτικὴ πορεία. Ἀπὸ τὴν μελέτη τῆς τάσης-παραμόρφωσης τῶν τοιχωμάτων παρατηρήθηκε ὅτι ἡ μηχανικὴ συμπεριφορὰ τῶν διαφόρων ἀορτικῶν τμημάτων διαφέρει ἀναλόγως μὲ τὴν τοπογραφικὴ τους θέση. Στὴν ὄμαδα τῶν φυσιολογικῶν πειραματοζώων, τὰ δύο ἡμιμόρια τῆς θωρακικῆς καὶ τῆς κοιλιακῆς ἀορτῆς παρουσιάσαν διαφορὲς στὶς μηχανικές τους ἴδιότητες, μὲ στατιστικὲς διαφοροποιήσεις ὅχι τόσο στὰ μεταξύ τους γειτονικὰ τμήματα, ὅσο μεταξύ τῶν ἡμιμορίων τῆς θωρακικῆς καὶ τῆς κοιλιακῆς ἀορτῆς. Συγκεκριμένως, παρατηρήθηκε ἐλάττωση τῆς δομικῆς ἀκαμψίας κατὰ τὴν διαδρομὴ τοῦ ἀγγείου ἀπὸ τὴν ἀορτικὴ βαλβίδα πρὸς τὸ σημεῖο διχασμοῦ τῶν λαγονίων, ὅπως αὐτὸ ἐκφράζεται ἀπὸ τὸ μέτρο τῆς ἐλαστικότητος, γεγονὸς ποὺ σημαίνει ὅτι τὰ περιφερικὰ τμήματα τῆς κοιλιακῆς ἀορτῆς ἔχουν μεγαλύτερη ἐλαστικότητα ἀπὸ τὰ κεντρικὰ τῆς θωρακικῆς ἀορτῆς. Ἡ διαπίστωση αὐτή, ποὺ πιθανὸν νὰ εὑρίσκεται σὲ ἀντίφαση μὲ τὶς γνώσεις ἀπὸ τὴν συμμετοχὴ τῆς ἀνιούσας θωρακικῆς ἀορτῆς στὴν ρύθμιση τῆς αἱματικῆς ροής στὴν διαστολικὴ φάση τῆς καρδιακῆς λειτουργίας, διφείλεται, κατὰ πᾶσα πιθανότητα, στὶς μεγάλες διαφορὲς τοῦ πάχους τοῦ ἀορτικοῦ τοιχώματος στὸ συγκεκριμένο ζωικὸ πρότυπο ποὺ χρησιμοποιήθηκε γιὰ τὴν μελέτη αὐτή. Ὡς γνωστό, στὸν ὑπολογισμὸ τοῦ μέτρου ἐλαστικότητος ἡ παράμετρος πάχους τοῦ τοιχώματος ὑπεισέρχεται στὸν παρονομαστή.

‘Ο ἐμπλουτισμὸς τῆς τροφῆς τῶν πειραματοζώων μὲ χοληστερόλη καὶ ἡ συνεπέικ τοῦ γεγονότος αὐτοῦ, πρόκλησις ἀθηρωματικῶν ἀλλοιώσεων στὸ τοίχωμα τῶν ἀγγείων τους, προκάλεσε μεταβολὲς τῶν μηχανικῶν χαρακτηριστικῶν τῶν ἀγγείων ποὺ ἥταν ἔκδηλες ἀπὸ τὸν πρῶτο μήνα καὶ ἔγιναν πλέον ἔντονες τὸν δεύτερο μήνα. Τὰ δύο ἡμιμόρια τῆς κοιλιακῆς ἀορτῆς ἐπηρεάστηκαν περισσότερο ἀπὸ τὸ κάτω ἡμιμόριο τῆς θωρακικῆς ἀορτῆς, ἐνῶ τὸ ἄνω τμῆμα αὐτῆς ἔμεινε ἀνεπηρέαστο. Ἡ ἐκλεκτικὴ αὐτὴ μεταβολὴ τῶν μηχανικῶν χαρακτηριστικῶν τῆς κοιλιακῆς ἀορτῆς μπορεῖ νὰ ἀποδοθεῖ σὲ αἱμοδυναμικοὺς παράγοντες, ὅπως εἶναι ἡ δημιουργία δια-

τμητικῶν τάσεων καὶ ἡ στροβιλώδης ροή στὴν περιοχὴ αὐτή, ἀλλὰ καὶ σὲ μηχανισμούς ἀπορρόφησης λιποειδῶν μέσα στὸ ἀρτηριακὸ τοίχωμα, στοιχεῖα τὰ ὅποια εἶναι συχνὰ συνδεδεμένα μὲ τὴν ἔξελικτικὴ πορεία τῆς ἀθηρωματικῆς νόσου.

Οἱ δομικὲς καὶ οἱ μηχανικὲς μεταβολὲς τοῦ ἀορτικοῦ τοιχώματος ποὺ παρατηρήθηκαν ἔχουν ἐπιπτώσεις σὲ δρισμένες παραμέτρους ὅπως εἶναι ἡ ἐνέργεια ἐλαστικότητος καὶ ἡ δομικὴ δυσκαμψία τοῦ ἀρτηριακοῦ τοιχώματος. Ἡ ἐνέργεια ἐλαστικότητος ἀντιπροσωπεύει τὴν ἐλαστικὴ ἐνέργεια ποὺ συσσωρεύεται στὰ δομικὰ στοιχεῖα τοῦ ἀγγειακοῦ τοιχώματος κατὰ τὴν διάρκεια τῆς παραμόρφωσης, ἐνῶ ἡ δομικὴ δυσκαμψία ἀποτελεῖ μέτρο ποὺ ἐκφράζει τὴν σκληρότητα τοῦ τοιχώματος.

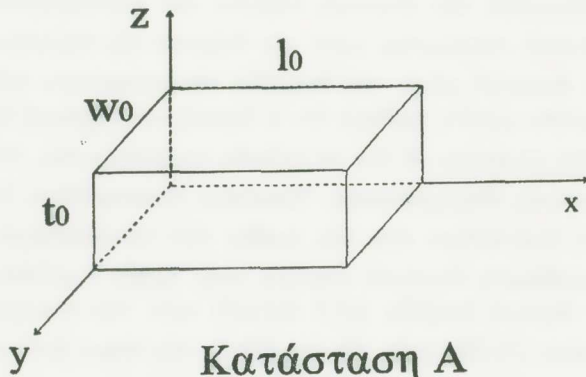
Ἄπὸ τὴν παροῦσα μελέτη βρέθηκε ὅτι ἡ δομικὴ καὶ μηχανικὴ δυσκαμψία τοῦ ἀορτικοῦ τοιχώματος μειώνεται σὲ ὅλα τὰ ἐπίπεδα παραμόρφωσης, στὴν ἔξελικτικὴ πορεία τῆς πειραματικῆς ἀθηρωμάτωσης. Ἐπιπλέον, παρατηρήθηκε ὅτι καὶ ἡ ἐνέργεια ἐλαστικότητος ἐλαστικότητος στὶς δύο ὄμάδες τῶν ὑπερλιπιδαιμικῶν πειραμάτων. Ἡ ὑπολογιζόμενη ἐλαστικὴ ἐνέργεια στὴν ὄμάδα Α αὐξάνεται κατὰ τὴν διαδρομὴ ἀπὸ τὴν ἀορτικὴ βαλβίδα (57.1 KJ/m^3) πρὸς τὴν περιοχὴ διχαλώσεως τῶν λαγονίων ἀγγείων (75.7 KJ/m^3). Μὲ τὴν ἔξελιξη τῆς νόσου, ἡ ἐλαστικὴ ἐνέργεια μειώνεται περισσότερο στὴν κοιλιακὴ (39 %) ἀπὸ ὅτι στὴν θωρακικὴ ἀορτὴ (18.7%). Αὔτο, προφανῶς ἐρμηνεύεται ἀπὸ τὸ γεγονός ὅτι κατὰ τὴν διάρκεια τῆς ὑπερλιπιδαιμικῆς διατροφῆς, ἐπέρχονται σημαντικὲς μεταβολὲς στὴν ἀρχιτεκτονικὴ δομὴ τοῦ ἀγγείου καθὼς καὶ ἀλλοιώσεις στὰ δομικὰ συστατικά του.

Ἡ ἐναπόθεση λιποειδῶν καὶ ἡ ὑπερπλασία τῶν λείων μυϊκῶν κυττάρων τῆς ἀορτῆς ἐπιφέρει μεταβολὲς στὶς μηχανικὲς ίδιότητες τῶν δύο βασικῶν ἐλαστικῶν συστατικῶν τοῦ ἀγγειακοῦ τοιχώματος ποὺ εἶναι ἡ ἐλαστίνη καὶ τὸ κολλαγόνο. Οἱ μεταβολὲς αὐτὲς φαίνεται ὅτι μειώνουν τὴν ἐπιμέρους ἐλαστικότητα τῶν δύο αὐτῶν βασικῶν δομικῶν στοιχείων καὶ ἐπηρεάζουν κατ’ ἐπέκταση τὴν συνολικὴ ἐλαστικότητα τοῦ ἀγγειακοῦ τοιχώματος. Εἶναι ἀξιοσημείωτο, σὲ ἀντίθεση μὲ ὅτι συμβαίνει στὰ φυσιολογικὰ ζῶα, ὅτι ἡ κοιλιακὴ ἀορτὴ τῶν ὑπερλιπιδαιμικῶν ζώων ἐπιβαρύνεται περισσότερο μὲ ἀπώλεια τῶν ἐλαστικῶν χαρακτηριστικῶν της, γεγονός ποὺ ἀποτελεῖ μίαν τῶν κυρίων αἰτιῶν διὰ τὴν μεγαλύτερη συχνότητα ἐμφανίσεως ἀνευρυσμάτων στὴν περιοχὴ αὐτήν.

Ἄπὸ τὰ ἀποτελέσματα τῆς παρούσης μελέτης συνάγεται ὅτι στὰ φυσιολογικὰ πειραματόζωα τὸ τοίχωμα τοῦ ἀορτικοῦ δένδρου δὲν παρουσιάζει ὄμοιόμορφες μηχανικὲς ίδιότητες. Ἡ πρόκληση ὅμως ἀθηρωματικῶν ἀλλοιώσεων, ἔστω καὶ στὰ πρώιμα καὶ ἀρχικὰ στάδια ἔξελιξης τῆς νόσου, προκαλεῖ σημαντικὲς μεταβολὲς στὴν μηχανικὴ συμπεριφορὰ τοῦ τοιχώματος, μὲ ἀποτέλεσμα ἡ κοιλιακὴ ἀορτὴ νὰ παρουσιάζει σημαντικὴ ἀπώλεια τῶν ἐλαστικῶν της χαρακτηριστικῶν καὶ νὰ ὑπόκειται εύκολότερα σὲ παραμορφώσεις ἀπὸ τὶς ἐνδοσυλικές καὶ ἔξωτερικές αἵμοδυναμικές καὶ μηχανικές ἐπιβαρύνσεις.

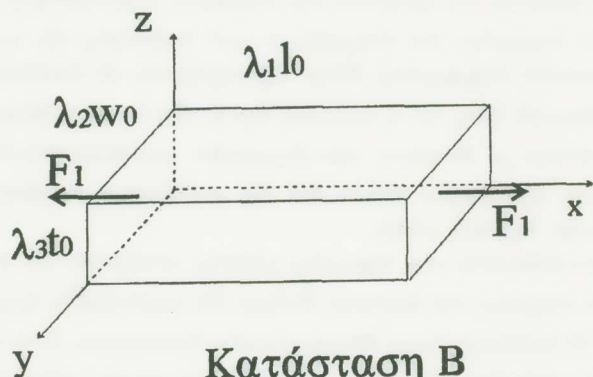
Παράρτημα

Θεωροῦμε τὴν φυσικὴ κατάσταση A ἐνὸς σώματος μὲ τὴ μορφὴ ἐνὸς παραλληλεπιπέδου διαστάσεων l_0 , w_0 , t_0 τοποθετημένο σὲ ἓνα σύστημα ὀρθογωνίων καρτεσιανῶν συντεταγμένων (x, y, z) ὅπως φαίνεται στὸ σχῆμα 8α. Ἐστω, δτὶ δύναμη F_1 , κατὰ τὴν διεύθυνση τοῦ ἄξονα x ἀσκεῖται στὸ σῶμα. Ἡ δύναμη αὐτὴ προκαλεῖ ἐπι-



(α)

μήκυνση τοῦ σώματος κατὰ τὸν ἄξονα x ὅπως φαίνεται στὸ σχῆμα 8β. Στὴν κατάσταση αὐτὴ (B) τὸ σῶμα ἔχει διαστάσεις $\lambda_1 l_0$, $\lambda_2 w_0$, $\lambda_3 t_0$ ὅπου $\lambda_1, \lambda_2, \lambda_3$, εἶναι οἱ ἐπιμηκύνσεις οἱ ὁποῖες περιγράφουν τὴν παραμόρφωση ἀπὸ τὴν φάση A στὴν B. Ἔὰν οἱ $\lambda_1, \lambda_2, \lambda_3$ διαφέρουν ἐλάχιστα ἀπὸ τὴν μονάδα, τότε ἡ παραμόρφωση ὀνομά-



(β)

Σχῆμα 8. Οἱ δύο καταστάσεις ἐνὸς σώματος. Ἡ κατάσταση A (8α) εἶναι ἡ φυσικὴ κατάσταση τοῦ σώματος. Στὴν κατάσταση (8β) ἀσκεῖται δύναμη F_1 .

ζεται πεπερασμένη. 'Ο αρτηριακός ίστος δυμως παρουσιάζει μεγάλες παραμορφώσεις, και ή σχέση μεταξύ της δύναμης F_1 και της έπιμηκυνσης λ_1 είναι μή-γραμμική.

Στήν κατάσταση B τοῦ σώματος μποροῦν νὰ δριστοῦν οἱ ἀκόλουθες τάσεις και παραμορφώσεις. Σημειώνουμε ώς s_1 τὴν τάση Kirchhoff, ή ὅποια ίσοῦται μὲ τὸ λόγο τῆς δύναμης F_1 μὲ τὴν ἐπιφάνεια τῆς διατομῆς τοῦ σώματος στήν κατάσταση A, ἔτσι ὡστε

'Ομοίως σημειώνουμε ώς s_1 τὴν τάση Cauchy, ή ὅποια ίσοῦται μὲ τὸ λόγο τῆς δύναμης F_1 μὲ τὴν ἐπιφάνεια τῆς διατομῆς τοῦ σώματος στήν κατάσταση B.
"Ετσι,

Στήν κλασσική θεωρία τῶν μή-πεπερασμένων παραμορφώσεων ὁ διαχωρισμὸς μεταξὺ τῶν δύο παραπάνω τάσεων δὲν είναι ἀπαραίτητος. 'Επειδὴ ή ἀρχικὴ ἐπιφάνεια τῆς διατομῆς είναι εύκολότερο νὰ ὑπολογιστεῖ, γιὰ τὰ μηχανολογικὰ ὄλικὰ χρησιμοποιεῖται κυρίως ή τάση Kirchhoff. "Οταν ἐμφανίζονται μεγάλες μεταβολὲς στήν ἐπιφάνεια τῆς διατομῆς κατὰ τὴν παραμόρφωση, τότε ὑπολογίζεται συνήθως ή τάση Cauchy.

"Οσον ἀφορᾶ τὴν παραμόρφωση τοῦ σώματος μεταξὺ τῶν καταστάσεων A καὶ B χρησιμοποιοῦνται ἔνας μεγάλος ἀριθμὸς δρισμῶν. Οἱ ἵδιες οἱ ἐπιμηκύνσεις ἀπεικονίζουν τὸν βαθμὸν παραμόρφωσης τοῦ σώματος. Οἱ τιμές τους είναι ἵσες μὲ τὴν μονάδα στήν κατάσταση A. Στήν κλασσική θεωρία ἐλαστικότητος, ή πραγματική παραμόρφωση δρίζεται ώς

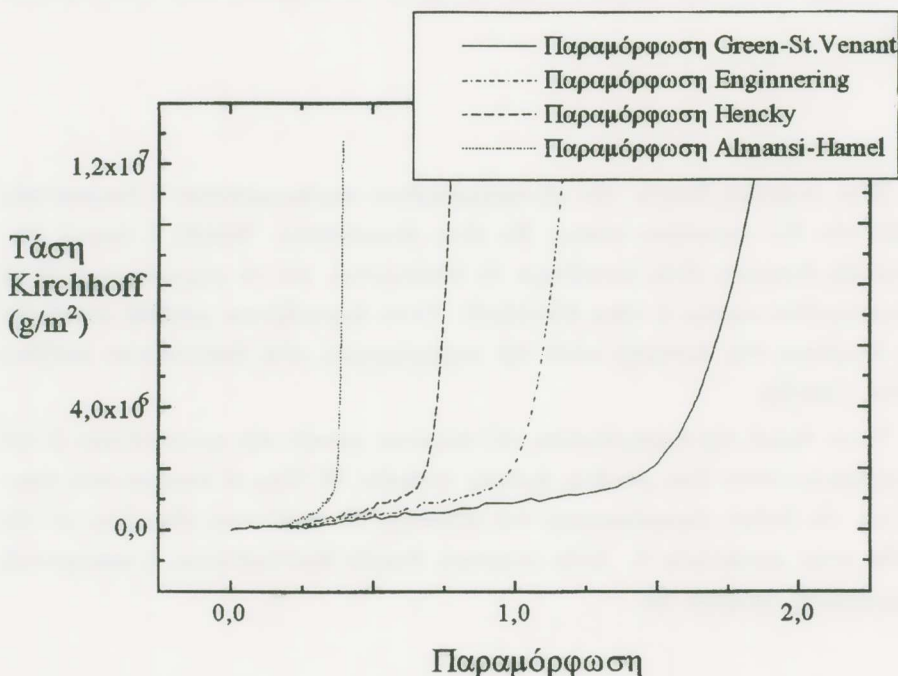
Στήν γενικευμένη θεωρία ἐλαστικότητος, χρησιμοποιοῦνται ἄλλοι δρισμοὶ δύος ή παραμόρφωση Hencky, ή παραμόρφωση Green-St. Venant καὶ ή παραμόρφωση Almansi-Hamel, οἱ ὅποιοι στήν περίπτωση τῶν πεπερασμένων παραμορφώσεων συμπίπτουν μὲ τὸν δρισμὸν τῆς πραγματικῆς παραμόρφωσης. 'Ο δρισμὸς τῆς παραμόρφωσης Green-St. Venant γ_1 δίνεται ἀπὸ τὴν σχέση:

ένω ή παραμόρφωση Almansi-Hamel μ_1 και ή παραμόρφωση Hencky v_1 δρίζονται ως έξης

$$\mu_1 = \frac{1}{2}(1 - \lambda_1^{-2})$$

$$v_1 = \ln \lambda_1$$

Με βάση τούς δύο δρισμούς για τὴν τάση, και τοὺς τέσσερις δύον ἀφορᾶ τὴν παραμόρφωση, μπορεῖ κανεὶς νὰ διαμορφώσει δικτὸς διαφορετικοὺς συνδυασμοὺς διαγραμμάτων τάσης-παραμόρφωσης. Τὸ σύνολο αὐτῶν τῶν συνδυασμῶν ἀπεικονίζεται στὰ σχήματα 9 και 10 στὴν περίπτωση πειράματος μονοαξονικοῦ ἐφελκυσμοῦ.



Σχῆμα 9: Μία ὁμάδα ἀπὸ καμπύλες τάσης Kirchhoff-παραμόρφωσης, προερχόμενη ἀπὸ πείραμα μονοαξονικοῦ ἐφελκυσμοῦ μὲ βάση διαφορετικὲς ἐκλογὲς γιὰ τὴν παραμόρφωση.

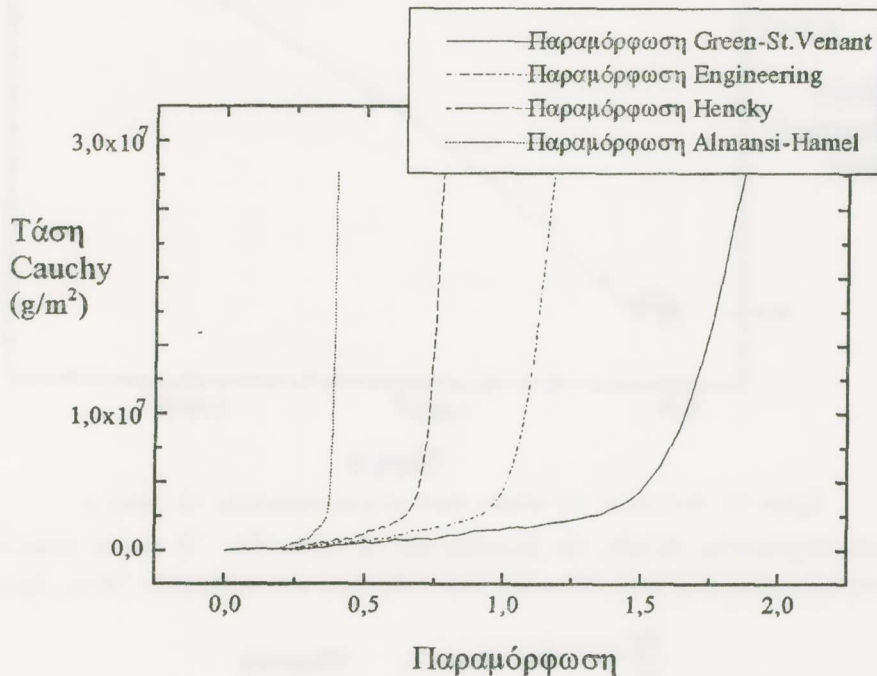
"Οπως παρατηρεῖται, οἱ καμπύλες αὐτὲς εἶναι ξεχωριστές, και ἀπὸ αὐτὲς προκύπτουν οἱ διάφοροι συντελεστὲς ἐλαστικότητος.

Τὰ δεδομένα τάσης-παραμόρφωσης μποροῦν νὰ ἀπεικονιστοῦν φαινομενολογικῶς μὲ μαθηματικὲς συναρτήσεις, ὅπως τὰ πολυώνυμα. Τὰ ἀποτελέσματα τῶν

δοκιμῶν μὲ διαφορετικές τάξεις πολυωνύμων ἔδειξαν ὅτι τὰ καλύτερα ἀποτελέσματα δίνονται ἀπὸ συναρτήσεις τετάρτου βαθμοῦ τῆς μορφῆς

$$\sigma = A + B\gamma + C\gamma^2 + D\gamma^3 + F\gamma^4$$

ὅπου A, B, C, D, F εἰναι σταθερές.



Σχήμα 10: Μία διάδοξη ἀπὸ καμπύλες τάσης Cauchy-παραμόρφωσης, προερχόμενη ἀπὸ πείραμα μονοαξονικοῦ ἐφελκυσμοῦ μὲ βάση διαφορετικές ἐκλογὲς γιὰ τὴν παραμόρφωση.

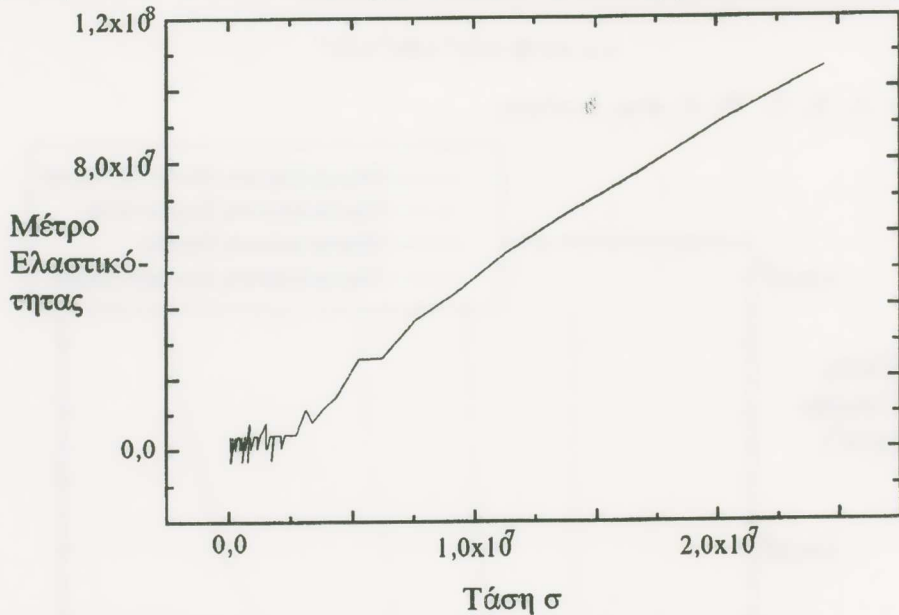
Απὸ τὶς καμπύλες τάσης-παραμόρφωσης προκύπτουν μὲ παραγώγιση, καμπύλες μέτρου ἐλαστικότητας-παραμόρφωσης, σύμφωνα μὲ τὴν σχέση

$$E = \frac{d\sigma}{d\gamma} = E(\gamma)$$

$$E(\gamma) = B + 2C\gamma + 3D\gamma^2 + 4F\gamma^3$$

Απὸ τὴν παραπάνω σχέση προκύπτει ὅτι τὸ μέτρο ἐλαστικότητος εἰναι συνάρτηση τῆς τάσης, δηλαδὴ $E = E(\sigma)$. Διαγράμματα μέτρου ἐλαστικότητος-τάσης τὰ ὅποια ὑπολογίστηκαν ἔδειξαν ὅτι ἡ σχέση τῶν δύο εἰναι γραμμική, ὥπως φαίνεται

στὸ σχῆμα 11. Ούσιαστικῶς, τὸ σχῆμα 11 ἀποτελεῖται ἀπὸ δύο γραμμικὲς σχέσεις, ἡ καθεμία ἀπὸ τὶς δύο ἀντιστοιχεῖ σὲ ἕνα ἀπὸ τὰ δύο ἐνεργὰ συστατικὰ τοῦ ἀρτη-



Τάση σ

Σχῆμα 11: Διάγραμμα τοῦ μέτρου ἐλαστικότητος συναρτήσει τῆς τάσης σ. ριακοῦ τοιχώματος, δηλαδὴ τὴν ἐλαστίνη καὶ τὸ κολλαγόνο. Ἡ πρώτη γραμμικὴ σχέση ἀνταποκρίνεται στὴν ἐλαστίνη, ἐνῷ ἡ δεύτερη στὸ κολλαγόνο. Ἔτσι, ἔχουμε

$$\frac{d\sigma}{dy} = A + B\gamma, \quad 0 < \gamma < \gamma_s, \quad \text{Ἐλαστίνη}$$

$$\frac{d\sigma}{dy} = C + D\gamma, \quad \gamma_s < \gamma < \gamma_f, \quad \text{Κολλαγόνο}$$

ὅπου A, B, C, D εἶναι σταθερές, γνωστοί, τὸ ἐπίπεδο παραμόρφωσης μετὰ τὸ ὅποιο εἰσερχόμαστε στὴν περιοχὴ δράσης τοῦ κολλαγόνου, καὶ γνωστοί, τὸ ἐπίπεδο παραμόρφωσης μετὰ τὸ ὅποιο εἰσερχόμαστε στὴν περιοχὴ δράσης τοῦ ὄλικοῦ. Ολοκλήρωση τῶν παραπάνω σχέσεων ὁδηγεῖ στὰ ἔξις ἀποτελέσματα.

$$\sigma = \frac{A}{B}(e^{By} - 1), \quad 0 < y < y_s, \quad \text{Ἐλαστίνη}$$

$$\sigma = \frac{C}{D}(e^{Dy} - 1), \quad y_s < y < y_f, \quad \text{Κολλαγόνο}$$

Παρατηρεῖ λοιπὸν κανεὶς ὅτι τὰ δεδομένα τάσης-παραμόρφωσης μποροῦν νὰ ἀπεικονιστοῦν καὶ σὲ ἐκθετικὴ μορφὴ σύμφωνα μὲ τὶς παραπάνω μαθηματικὲς σχέσεις.

S U M M A R Y

Mechanical properties of the aorta duct, during the evolution of experimentally induced atherosclerosis

The elastic properties of the aorta are influenced by atherosclerosis. The stress-strain relationship, the elastic energy and the local alterations of the aortic wall are not well known. Twenty four white male New Zealand rabbits were divided into three groups. Regular food was provided in group A ($n=4$) and food enriched with cholesterol in groups B ($n=10$) and C ($n=10$). Animals in groups B and C were sacrificed after 1 and 2 months respectively. The aorta, from the aortic valve to the iliac bifurcation, was removed and divided into two thoracic and two abdominal segments. Mechanical analysis was performed with Vitrodyne V1000 uniaxial tension machine. The stress - strain curves and the estimated elastic modulus in group A showed that the distal parts of the thoracic and abdominal aorta were significantly stiffer than the proximal ones ($p < 0.05$). With the progression of atherosclerosis in groups B and C, the same distribution of elastic modulus was noticed along with a significant decrease in the stiffness of the distal abdominal segment ($p < 0.05$). The elastic energy in group A increased from the aortic valve (57.1 KJ/m^3) to the iliac bifurcation (75.7 KJ/m^3). With the progression of the disease in groups B and C the elastic energy decreased more in the abdominal (39%) than in the thoracic aorta (18.7%). It is, thus, concluded that the mechanical behaviour of the wall of the aortic tree varied within the different topographical regions, with the distal parts of the thoracic and abdominal aorta being stiffer than the proximal ones. Progression of the atherosclerotic disease impaired the elastic properties of the aorta significantly more in the distal segment of the abdominal aorta, than in the othe segments.

B I B L I O G R A F I A

1. Rindfleisch E. Zur entstehung und heilung des Aneurysma Dissecans Aortae. Virchows Arch Path Anat Physiol. 1873; 131:374.
2. Roy CS. Elastic properties of arterial wall. J Physiol. Lond. 1880; 3: 125-159.
3. Greendyke RM. Traumatic rupture of the aorta. J Am Med Ass. 1966; 195: 527-530.
4. Bergel DH. Static elastic properties of the arterial wall. J Physiol. Lond. 1961; 156: 445-457.
5. Patel DJ and Vaishnav RN. Basic Hemodynamics and Its Role in Disease Processes, University Park Press, Baltimore, 1980.

6. Fung YC. Biomechanics. Motion, Flow, Stress, and Growth, Springer, New York, 1990, 353-381.
7. Fyng YC. Biomechanics. Mechanical Properties of Living Tissues, Springer, New York, 1981, 261-301.
8. Milnor WR. Properties of the Vascular Wall. In Hemodynamics. 2nd ed., Williams and Wilkins, Baltimore, 1990: 58-95.
9. Nichols WW and O'Rourke MF, Properties of the arterial wall. In Blood Flow in Artreies 3rd ed., Lee and Febiger, Philadelphia, 1990: 77-114.
10. Hayashi K. Experimental Approaches on Measuring the Mechanical Properties and Constitutive Laws of Artetial Walls. ASME J. Biomech. Eng. 1993; 115: 481-488.
11. Hayashi K., Rato M., Handa H, Moritake K. Biomedical Study of Constitutive Laws of Vascular Walls. Experimental Mechanics. 1974; 14: 440-444.
12. Loree HM, Grodzinsky AJ, Park SY, Gibson LJ, Lee RT. Static Circumferential Tangential Modulus of Human Atherosclerotic Tissue. J Biomechanics. 1994; 27: 195-204.
13. Mohan D, Melvin JW. Failure properties of passive human aortic tissue I-uniaxial tension tests. J Biomechanics. 1982; 15: 887-902.
14. Green AE and Zerna W., Theoretical Elasticity. Oxford University Press, 1954, London.